

# معکوس‌سازی خطی دو بعدی داده‌های الکترومغناطیس زمینی حوزه فرکانس با چشم‌های مصنوعی در محدوده عدد القاء کوچک

حسینعلی قاری<sup>\*</sup> و رامین ورفی نژاد<sup>۲</sup>

۱. استادیار، دانشکده مهندسی معدن و متالورژی، دانشگاه یزد، یزد، ایران

۲. دانش‌آموخته دکتری، گروه فیزیک زمین، مؤسسه ژئوفیزیک، دانشگاه تهران، تهران، ایران

(دریافت: ۱۴۰۰/۹/۲۸، پذیرش نهایی: ۱۴۰۱/۷/۱۲)

## چکیده

به منظور بازسازی مقاطع رسانایی الکتریکی زیرسطحی با استفاده از داده‌های ژئوالکترومغناطیس حوزه فرکانس تحت شرایط عدد القاء کوچک، یک الگوریتم مدل‌سازی معکوس تکراری در دو بعد از طریق رویکرد معادلات انتگرال خطی در محیط برنامه‌نویسی MATLAB توسعه داده شده است. الگوریتم معکوس‌سازی حاضر بر اساس یک مدل‌سازی پیشرو خطی دو بعدی بنا نهاده شده است که برای حل این مسئله پیشرو از راحل عددی به جای شیوه تحلیلی استفاده می‌شود. از قابلیت‌های این الگوریتم خطی، محاسبه کرنل تنها در یک مرحله و استفاده از آن در تمام تکرارها می‌باشد که باعث افزایش سرعت محاسبات می‌شود. ورودی این فرایند معکوس‌سازی، مقادیر رسانایی الکتریکی ظاهری می‌باشد. برای بهینه‌سازیتابع هدف از شیوه کمترین مرباعات وزن داده شده با خضور منظم‌سازی و همچنین اعمال قید، از طریق تابع وزن‌دهی عمقی، استفاده شده است که از شدت عدم‌یکنایی و ناپایداری آن کاسته شود. در این تحقیق، مقدار اولیه پارامتر منظم‌سازی با استفاده از بیشنه مقدار ماتریس عملگر پیشرو حاصل و سپس بهینه می‌شود. الگوریتم مذکور قادر به معکوس‌سازی در دو حالت منفرد و توأم آرایه‌های هم‌صفحه افقی و هم‌صفحه قائم می‌باشد. صحت این الگوریتم با استفاده از داده‌های حاصل از دو مدل مصنوعی، مدل اول شامل یک آنومالی در دو حالت افقی یا قائم و مدل دوم شامل چهار آنومالی با ابعاد و موقعیت‌های مختلف، و همچنین داده‌های مربوط به یک دایک ضخیم در آفریقای جنوبی ارزیابی می‌شود. داده‌ها از طریق شرایط دستگاه‌های EM31، EM34 و EM38 شبیه‌سازی یا برداشت شده‌اند. نتایج معکوس‌سازی‌ها کارآبی روش را در حد مطلوب نشان می‌دهند.

**واژه‌های کلیدی:** ژئوالکترومغناطیس حوزه فرکانس تحت شرایط عدد القاء کوچک، مدل‌سازی پیشرو، معادلات انتگرال خطی، معکوس‌سازی توأمان، تابع وزن‌دهی عمقی.

## ۱. مقدمه

جهت‌گیری‌های مختلف، این تجهیزات با ترکیب‌های متنوعی از فرکانس‌ها، فاصله جدایش‌ها و جهت‌گیری‌های مختلف از Tx-Rx طراحی شده‌اند. برای درک عملی از اصول اولیه چنین دستگاه‌هایی می‌توان به اطلاعات ارائه شده توسط مک نیل (۱۹۸۰) مراجعه کرد. به منظور اندازه‌گیری مستقیم رسانایی الکتریکی ظاهری زمین، دستگاه‌های الکترومغناطیسی باید تحت شرایط «عدد القاء کوچک» (Low-Induction-Number (LIN)) کار کنند که برای یک ابزار معین بستگی به هدایت غالب ساختار زیرسطحی مورد بررسی دارد (بیمیش، ۲۰۱۱). این رسانایی الکتریکی ظاهری، تحت تأثیر عوامل مختلفی از جمله میزان آب، کانی‌شناسی، دما، بافت خاک و سنگ،

سنسورهای سنجش رسانایی الکتریکی زمینی با نام «رسانایی سنج زمینی» نوع خاصی از تجهیزات ژئوالکترومغناطیسی حوزه فرکانس (GeoFEM) هستند که از یک سیم‌پیچ کوچک به عنوان چشم‌های مصنوعی یا فرستنده (Tx) و یک سیم‌پیچ کوچک دیگر به عنوان گیرنده (Rx) تشکیل شده‌اند. هدف از کاربرد این تجهیزات، اندازه‌گیری میزان جفت‌شدگی (Coupling) میدان EM با زمین در نواحی کم‌عمق زیرسطحی می‌باشد که در نهایت به عنوان یک رهیافت سریع به منظور تهیه نقشه‌های رسانایی الکتریکی نزدیک سطح زمین نام برده می‌شوند. حال با هدف سنجش رسانایی الکتریکی زیرسطحی در مقیاس‌های عمقی متفاوت و ساختارهای با

در بسیاری از موارد عملی مفید واقع می‌شوند. این روش‌ها بر اساس یکی از این دو فرض قرار دارند: ۱) زمین یک نیم‌فضای همگن است یا ۲) زمین به گونه‌ای لایه‌بندی شده است که ساختار رسانایی الکتریکی زیرسطحی تغییرات افقی قابل توجهی ندارد و همچنین توده رسانایی مجازی در محدوده اثر سیستم LIN-GeoFEM زیر سطح زمین وجود نداشته باشد. در این روش حتی می‌توان عارضه‌های رسانایی دارای شبکه ملائم را نیز مدل‌سازی کرد. انواع روش‌های معکوس‌سازی یک‌بعدی در محیط‌های مختلف مورد بررسی قرار گرفته‌اند و در نهایت برای تفسیر داده‌های LIN-GeoFEM در محیط‌های شبلايه‌ای قابل اعتماد گزارش شده‌اند. این روش‌ها شامل معکوس‌سازی یک‌بعدی تک ایستگاهی (مینسلی، ۲۰۱۱)، معکوس‌سازی یک‌بعدی مقید شده به صورت جانبی و عمیقی، ۱D-LCI یا شبکه دو‌بعدی، (مونتیرو سانتوس و همکاران، ۲۰۱۰) و رهیافت معکوس‌سازی یک‌بعدی مقید شده به صورت جانبی، عمیقی و افقی، ۱D-SCI، یا شبکه بعدی (الواسیف و همکاران، ۲۰۱۷)، می‌شوند. با اعمال الگوریتم‌های جستجوی تصادفی، مانند معکوس‌سازی بیزی (مینسلی، ۲۰۱۱)، از کمینه‌های محلی اجتناب شده است. البته با توجه به هزینه‌های محاسباتی زیاد، کاربرد این روش‌ها محدود شده است.

در مواردی که ساختارهای زمین‌شناسی تقریباً افقی هستند، با شبکه کمتر از ۳۰ درجه، فرض زمین یک‌بعدی نتایج قانع کننده‌ای را ارائه می‌کند. با این وجود، این فرض ممکن است در برخی موارد با محدودیت‌هایی رویه‌رو شود و حتی گاهی در بازسازی مدل پیچیده زمین با شکست کامل مواجه شود. در بیشتر مواردی که ساختارهای زمین‌شناسی تغییرات افقی سریع در منطقه مورد بررسی نشان می‌دهند، یعنی ساختارهای دو یا سه‌بعدی، اجرای معکوس‌سازی یک‌بعدی برای تفسیر این نوع داده‌ها کافی به نظر نمی‌رسد و اثرات سه‌بعدی در مقاطع مقاومت‌ویژه ظاهر می‌شوند. همچنین ساختارهای دارای توپوگرافی زیرسطحی، مانند سنگ بستر با سطوح

تخلخل، نفوذپذیری و شوری قرار دارد (کلگری و همکاران، ۲۰۰۷).

دستگاه‌های ژئوالکترومغناطیسی حوزه فرکانس تحت شرایط LIN، تجهیزات LIN-GeoFEM، از انتشار میدان‌های الکترومغناطیسی متناوب در زیرسطح زمین برای اندازه‌گیری رسانایی الکتریکی ظاهری ( $\sigma_{\text{ss}}$ , mS/m) زیرسطحی استفاده می‌کنند. این ویژگی اندازه‌گیری شده، میانگین پیچیده‌ای از رسانایی‌های الکتریکی محلی توزیع شده به صورت فضایی در زیر سطح است. دستگاه‌هایی که قادر هستند به عنوان ابزارهای LIN-EM38 کار کنند شامل EM31، EM34، EM38 و GEM (Geonics Ltd., Mississauga, ON) DualEM (Geophex Ltd., Raleigh, NC) (GF Instruments, s.r.o.) سری CMD سری (GF Instruments, s.r.o.) هستند (کلگری و همکاران، ۲۰۰۷). دامنه کاربرد این تجهیزات برای توصیف و پایش‌های هیدروژئوفیزیکی شامل مسائل زیستمحیطی و هیدروژئولوژیکی رو به افزایش است. این کاربردها شامل مطالعات گسترش محدوده سفره آب زیرزمینی و محتوا آب (بروستن و همکاران، ۲۰۱۱) پرز‌فلورس و همکاران، ۲۰۱۹، بررسی‌های سنگ‌شناسی، میزان شوری و بافت خاک (سودوت و همکاران، ۲۰۰۱؛ کاوالکانه فراگا و همکاران، ۲۰۱۹) تعیین محل دفن زباله (نایکیست و بلر، ۱۹۹۱؛ دیدا و همکاران، ۲۰۲۲)، تشخیص توده‌های آلاینده (ماتیاس و همکاران، ۱۹۹۴؛ اوروزکو و همکاران، ۲۰۲۱) و کاپردهای فراوانی از این قبیل می‌باشد.

کاربردی‌های توصیف شده برای روش LIN-GeoFEM زمانی مفید خواهد بود که یک الگوریتم نسبتاً سریع و در عین حال به اندازه کافی دقیق برای معکوس‌سازی داده‌های برداشت شده، به منظور ایجاد مدل تغییرات رسانایی الکتریکی نزدیک سطح زمین، در دسترس باشد. در حال حاضر رویکردهای معکوس‌سازی یک‌بعدی به یک استراتژی استاندارد در تفسیر کمی و البته سریع برای حجم وسیعی از داده‌های LIN-GeoFEM تبدیل شده و

است که معادله انتگرال غیرخطی است (گومز-تروینو، ۱۹۸۷؛ ژدانوف، ۲۰۰۹). با این حال، پرز-فلورس و Born همکاران (۲۰۰۱) نشان داد که با استفاده از تقریب Born (ژدانوف ۲۰۰۲) یک معادله خطی تقریبی برای مسئله LIN-GeoFEM به دست می‌آید. پرز-فلورس و همکاران (۲۰۰۱) این مسئله خطی را به صورت تحلیلی حل کرده‌اند. در ادامه گومز-پوئنس و همکاران (۲۰۱۶)، سلینگ و همکاران (۲۰۱۷) و پرز-فلورس و همکاران (۲۰۱۹) از این شیوه خطی در فرایند معکوس‌سازی داده‌های LIN-GeoFEM استفاده کرده‌اند.

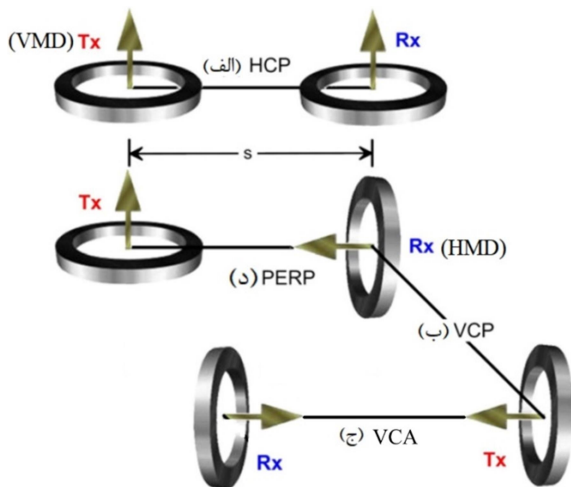
در این مقاله، ابتدا معادله انتگرالی خطی به صورت دوبعدی برای مسئله پیشرو روشن LIN-GeoFEM استفاده شده است و با جایگزینی حل عددی بهجای شیوه تحلیلی استفاده شده توسط ارائه‌دهنده‌گان روشن IE (پرز-فلورس و همکاران، ۲۰۰۱)، راه حل مذکور بهبود یافته است. سپس، برای حل مسئله معکوس از راه حل کمترین مربعات وزن داده شده با حضور منظم‌سازی و قید وزنی عمقی استفاده شده است. الگوریتم طراحی شده قادر به معکوس‌سازی در دو حالت منفرد و توامان آرایه‌های هم‌صفحه افقی و هم‌صفحه قائم می‌باشد. نتایج آزمون‌های عددی روی مثال‌های مصنوعی و نمونه واقعی ارائه می‌شود. لازم به ذکر است که تمامی مراحل فرایند مذکور در محیط MATLAB انجام شده است.

## ۲. عملکرد سیستم‌های LIN-GeoFEM

سیستم‌های GeoFEM از یک یا چند سیم پیچ فرستنده و گیرنده استفاده می‌کنند (بیمیش، ۲۰۱۱؛ مک نیل، ۱۹۸۰). در این سیستم‌ها از آرایه هم‌صفحه افقی HCP (شامل دو دوقطبی قائم (VMD)، هم‌صفحه قائم VCP (شامل دو دوقطبی افقی (HMD))، هم‌محور قائم VCA (شامل دو دوقطبی افقی) و متعماد PPER) یک دوقطبی افقی و یک دوقطبی قائم) برای تشخیص تباين رسانایی الکتریکی در زمین استفاده می‌شود (شکل ۱) (بیمیش، ۲۰۱۱).

ناصاف، دره‌های مدفون و برجستگی‌های متناوب، محدودیت‌هایی را در راستای استفاده از روش‌های معکوس‌سازی یک‌بعدی ایجاد می‌کند. با وجود پیشرفت‌های چشمگیر در زمینه بهبود قدرت پردازشگرهای یک الگوریتم معکوس‌سازی بر اساس راه حل سه‌بعدی کامل و البته با دقت کافی، مانند ساساکی (۲۰۰۱)، هزینه‌های محاسباتی نسبتاً بالایی را به همراه دارد که منجر به طولانی شدن زمان اجرا می‌شود و در نتیجه از نظر عملی اهمیت کمتری خواهد داشت.

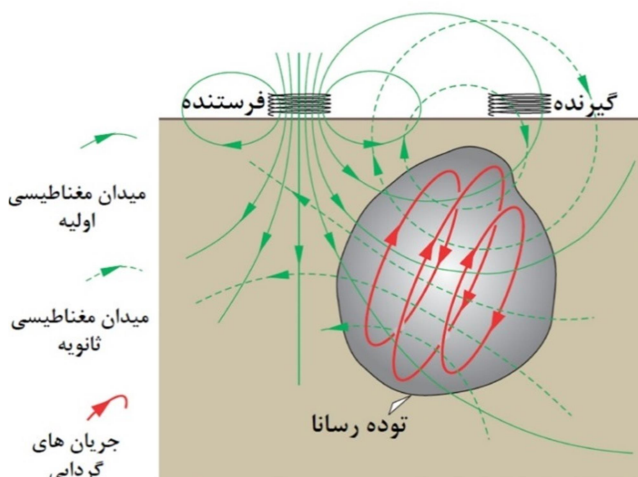
یک راه حل مؤثر برای غلبه بر برخی محدودیت‌های الگوریتم‌های یک‌بعدی موجود و همچنین زمان بر بودن رویکردهای سه‌بعدی، رهیافت دو و نیم‌بعدی می‌باشد که دو شرط دقت کافی و زمان اجرای کوتاه‌تر را برآورده می‌کند. این روش منجر به بازیابی یک مدل مقاومت‌ویژه دوبعدی زیرسطحی می‌شود، به شرطی که در محدوده اثر سیستم LIN-GeoFEM تغییرات مقاومت‌ویژه در طول امتداد ساختار قبل چشم‌پوشی باشد. سپس، با استفاده از یک راه حل عددی مناسب دو و نیم بعدی چندین الگوریتم کارآمد معکوس‌سازی دو و نیم بعدی برای تفسیر داده‌ها توسعه یافته‌اند، از قبیل اختلاف محدود (FD) و المان محدود (FE) (ساساکی، ۲۰۰۱؛ ساساکی و همکاران، ۲۰۱۰؛ اوه و همکاران، ۲۰۱۶). روش معادلات انتگرالی (IE) یک ابزار قدرتمند در مدل‌سازی شیوه LIN-GeoFEM محسوب می‌شود، به ویژه برای مدل‌هایی که دارای پس زمینه‌ای با ساختار رسانایی الکتریکی ساده هستند. مزیت اصلی روشن IE در مقایسه با روش‌های FD و FE شبیه‌سازی سریع و دقیق پاسخ مدل‌هایی حاوی توده‌های فشره دوبعدی یا سه‌بعدی در پس زمینه لایه‌ای است. محدودیت اصلی روشن IE این است که مدل رسانایی الکتریکی پس زمینه باید دارای ساختار ساده‌ای باشد تا محاسبه کارآمد تابع گرین امکان‌پذیر باشد (ژدانوف، ۲۰۰۹). خوب‌بختانه، پرکاربردترین مدل‌های پس زمینه در کارهای اکتشافی، مواردی هستند که از لایه‌های همگن افقی تشکیل شده‌اند. مسئله اصلی این



شکل ۱. طرح شماتیک آرایه‌های سیم‌پیچ-سیم‌پیچ مورد استفاده توسط سیستم‌های LIN-GeoFEM. (الف) HCP، آرایه هم صفحه افقی، (ب) VCP، آرایه هم صفحه قائم، (ج) VCA، آرایه هم محور قائم و (د) PERP. آرایه متعامد. S به فاصله جدایش مراکز سیم‌پیچ‌ها اشاره دارد. پیکان‌ها جهت‌گیری دوقطبی - های مغناطیسی را در فرستنده‌ها (Tx) و گیرنده‌ها (Rx) نشان می‌دهند (بیمیش، ۲۰۱۱).

مجازی (out-of-phase or quadrature-phase Q)) است. این مقادیر I و Q به سه طریق به کار گرفته می‌شوند: ۱) به طور مستقیم به صورت نقشه در می‌آیند و یک تفسیر کیفی از توزیع رسانایی الکتریکی در هر عمق از منطقه مورد نظر ارائه می‌دهند؛ ۲) اگر در چند فرکانس اندازه‌گیری شده باشند، وارد فرایند معکوس‌سازی می‌شوند و یک مدل رسانایی الکتریکی زیرسطحی بر می‌گردانند. از آنجایی که فاصله فرستنده-گیرنده در مقایسه با شعاع آنها به قدر کافی بزرگ هست، می‌توان فرستنده و گیرنده را به صورت یک HMD یا VMD تقریب زد.

سیگنال فرستنده، میدان مغناطیسی اولیه، با جریان الکتریکی سینوسی گذرنده از سیم‌پیچ فرستنده در یک یا چند فرکانس گسسته تولید می‌شود. این میدان مغناطیسی اولیه در حال نوسان باعث ایجاد جریان‌های گردابی زیر سطح زمین می‌شود. این جریان‌ها میدان مغناطیسی ثانویه را تولید می‌کنند، که به توزیع رسانایی الکتریکی زیر سطح زمین بستگی دارد (شکل ۲). میدان مغناطیسی اولیه مغناطیسی اولیه تقسیم می‌شود و «نسبت جفت‌شدگی» (coupling ratio (CR)) اطلاق می‌شود. این نسبت یک عدد مختلط شامل دو بخش حقیقی (I) و



شکل ۲. طرح شماتیک از شیوه عملکرد سیستم GeoFEM و پاسخ مغناطیسی حاصل از یک زمین ناهمگن. نمودار وضعیت یک میدان اولیه را می‌توان مشاهده کرد که شدت آن در حال افزایش است، بنابراین میدان ثانویه جهت مخالف دارد تا با تغییرات ایجاد شده مخالفت کند (دنتیث و ماج، ۲۰۱۴).

پوستی (۸) (رابطه ۵)، به صورت دیگری بیان کرد.

$$\theta = \frac{s}{\delta} = \frac{iks}{(1+i)} \quad (5)$$

که عمق پوستی از طریق رابطه (۶) حاصل می‌شود:

$$\delta = \sqrt{\frac{2}{\omega \mu_0 \sigma}} \quad (6)$$

و بسط تابع نمایی در سری توانی آن، به صورت زیر نوشت:

$$\frac{H_z}{H_0} = \frac{-2}{((i+1)\theta)^2} \left[ \frac{-(i+1)\theta^2}{2} - \frac{(i+1)\theta^4}{8} + \frac{5(i+1)\theta^5}{24} + \dots \right] \quad (7)$$

$$\frac{H_y}{H_0} = \frac{-2}{((i+1)\theta)^2} \left[ \frac{-(i+1)\theta^2}{2} - \frac{(i+1)\theta^4}{8} + \frac{(i+1)\theta^5}{24} - \dots \right] \quad (8)$$

هنگامی که شرایط LIN برآورده می‌شود، یعنی عدد القاء به اندازه کافی کوچک است، به عبارت دیگر  $\theta \ll 1$  در معادلات (۷) و (۸) فقط دو جمله اول به کار می‌آیند:

$$\frac{H_y}{H_0} \approx \frac{H_z}{H_0} \approx 1 + i \frac{\theta^2}{2} \quad (9)$$

حال با استفاده از قسمت مجازی نسبت جفت‌شدگی موجود در معادله (۹)، رسانایی الکتریکی ظاهری حاصل می‌شود:

$$\sigma_a \approx \frac{4}{\omega \mu_0 s^2} \operatorname{Im} \left\{ \frac{H}{H_0} \right\} \quad (10)$$

به صورت خلاصه مفروضات اصلی تقریب LIN بدین شرح زیر است: ۱). فرکانس کمتر از ۱۵ کیلوهرتز، ۲) سیم‌پیچ‌ها در ارتفاع صفر (۳) عدد القایی (B) بسیار کمتر از واحد، ۴) نفوذپذیری مغناطیسی فضای آزاد را فرض می‌کنیم، یعنی فرض بر این است که برداشت در محیط زمین‌شناسی غیرمغناطیسی انجام شده است، ۵) تقریب مجانی معادلات ماکسول. در جدول (۱) برخی تجهیزات سنجش رسانایی الکتریکی زمین که با شرایط LIN طراحی شدند، را نشان می‌دهد.

معادلات تحلیلی پیچیده‌ای برای محاسبه مقادیر خروجی (I,Q) سیستم‌های GeoFEM برای یک زمین همگن توسعه داده شده‌اند که این مقادیر به رسانایی الکتریکی محیط، فرکانس، جهت‌گیری و فاصله جدایش سیم‌پیچ‌ها بستگی دارد (ویت، ۱۹۵۵؛ اسپایس و فریشکخت، ۱۹۹۱). در ادامه با توسعه سیستم‌های مذکور، از طریق اعمال تقریب‌زنی در این معادلات پیچیده، امکان اندازه‌گیری مستقیم رسانایی الکتریکی خاک، با استفاده از تقریب معادلات پیچیده طراحی شده‌اند. این تقریب فقط تحت محدودیت‌های خاصی صادق است که به آنها شرایط «عدد القاء کوچک» گفته می‌شود (مک نیل، ۱۹۸۰؛ منذر دلگادو و همکاران، ۱۹۹۹؛ پرز-فلورس و همکاران، ۲۰۰۱؛ گومز-تروینو و همکاران، ۲۰۰۲؛ مونتیرو سانتوس، ۲۰۰۴؛ پرنو و همکاران، ۲۰۲۱).

نسبت جفت‌شدگی را برای آرایه‌های HCP و VCP بر روی یک نیم‌فضای همگن و با در نظر گرفتن شرط شباهیستا (Quasi-static) و با نادیده‌گرفتن جریان‌های جابه‌جایی (Displacement current)، می‌توان به صورت زیر نوشت (مک نیل، ۱۹۸۰؛ وارد و هومن، ۱۹۸۸):

$$\frac{H_z}{H_0} = \frac{2}{k^2 s^2} [-9 + (9 + 9iks - 4k^2 s^2 - ik^3 s^3)e^{-iks}] \quad (1)$$

$$\frac{H_y}{H_0} = \frac{2}{k^2 s^2} [3 + k^2 s^2 - (3 + 3iks - k^2 s^2)e^{-iks}] \quad (2)$$

$$H_0 = \frac{-m}{4\pi s^3} \quad (3)$$

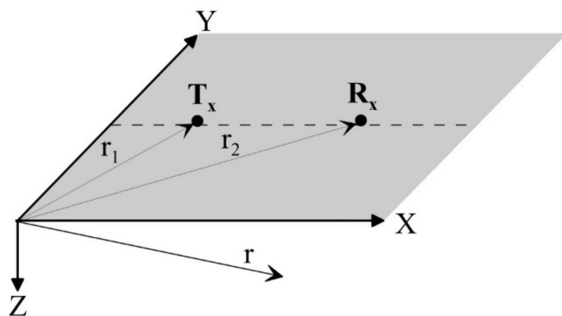
$$k = \sqrt{-i\omega \mu_0 \sigma} \quad (4)$$

که در اینجا  $s = 4\pi \times 10^{-7} \text{ Hm}^{-1}$ ،  $\omega = 2\pi f$  و  $m$  به ترتیب فاصله بین سیم‌پیچ‌ها، عدد موج در حالت شباهیستا، فرکانس زاویه‌ای، نفوذپذیری مغناطیسی فضای آزاد، رسانایی الکتریکی و گشتاور دوقطبی مغناطیسی فرستنده هستند. همچنین  $H_0$  میدان اولیه مربوط آرایه هم صفحه می‌باشد.

حال می‌توان معادلات (۱) تا (۴) را با استفاده از تعریف عدد القاء ( $\theta$ )، به صورت نسبت فاصله سیم‌پیچ‌ها به عمق

جدول ۱. تجهیزات زمینی LIN-GeoFEM راچ به همراه عمق نفوذ مؤثر آنها.

| برند           | مدل              | جداش فرستنده و گیرنده (متر) | فرکانس (کیلوهرتز) | آرایه      | عمق مؤثر بررسی (متر) |
|----------------|------------------|-----------------------------|-------------------|------------|----------------------|
| Geonics        | EM 31            | ۳/۶۶                        | ۹/۸               | HCP / VCP  | ۵/۵ - ۲/۷۵           |
| Geonics        | EM 34            | ۲۰                          | ۷/۴               | HCP / VCP  | ۱۵ - ۷/۵             |
| Geonics        | EM 38            | ۴۰                          | ۱/۶               | HCP / VCP  | ۳۰ - ۱۵              |
| Geonics        | DUALEM -1/1S     | ۱                           | ۰/۴               | HCP / VCP  | ۶۰ - ۳۰              |
| DualEM         | DUALEM -2/2S     | ۲                           | ۱۴/۶              | HCP / VCP  | ۱/۵ - ۰/۷۵           |
| DualEM         | DUALEM -4        | ۴                           | ۹                 | HCP / PERP | ۱/۵ - ۰/۰۵           |
| DualEM         | DUALEM -4        | ۹                           | ۰/۳۲              | HCP / VCP  | ۰/۲۵ - ۰/۰۵          |
| GF Instruments | CMD-MiniExplorer | ۰/۷۱                        | ۳۰                | HCP / VCP  | ۰/۰۵ - ۱             |
| GF Instruments | CMD-MiniExplorer | ۱/۱۸                        | ۰/۹ - ۱/۸         | HCP / VCP  | ۰/۹ - ۱/۸            |



شکل ۳. تنظیمات فرستنده و گیرنده برای آرایه دلخواه در برداشت‌های GeoFEM (پرز-فلورس و همکاران، ۲۰۰۱).

انتگرال‌گیری در معادلات (۱۱) تا (۱۲) از  $-\infty$  تا  $+\infty$  در امتداد محور y (جهت استرایک) انجام می‌شود، که می‌تواند به صورت تحلیلی یا عددی صورت گیرد. در این مقاله برای دستیابی به یک راه حل، انتگرال‌گیری عددی دو بعدی انجام شده است. زیر سطح زمین با استفاده از سلول‌های منشوری با سطح مقطع مربعی (یا مستطیلی) به تعداد  $nx \times nz$  و با ابعاد  $lx$  و  $lz$ ، که در امتداد محور y تا بی‌نهایت کشیده شده‌اند، گسسته‌سازی شده است و به هر سول یک مقدار رسانایی الکتریکی ثابت اختصاص می‌یابد. برای گسسته‌سازی و حل عددی از روش نقطه میانی (midpoint rule) بهره گرفته شده است که برای

### ۳. مدل‌سازی داده‌های LIN-GeoFEM

#### ۱-۳. روش مدل‌سازی پیشرو

پرز-فلورس و همکاران (۲۰۱۲) با استفاده از تقریب بورن، شیوه معادلات انتگرال خطی را برای مدل‌سازی سه‌بعدی دو قطبی‌های مغناطیسی قائم و افقی در روشن LIN-GeoFEM را مطرح کردند. مطابق این روش، داده‌های مسئله یعنی مقادیر رسانایی الکتریکی ظاهری استخراج شده از دستگاه با پارامترهای مدل یعنی مقادیر رسانایی الکتریکی حقیقی زمین از طریق معادله (۱۱) برای VMD:

$$\sigma_a(r_1, r_2) = -\frac{16\pi s}{\omega \mu_0 m_z} \iint_V G_{H_z}(r, r_2) \cdot E_{H_z}(r, r_1) \sigma(r) d^3r \quad (11)$$

و معادله (۱۲) برای HMD رابطه دارند:

$$\sigma_a(r_1, r_2) = -\frac{16\pi s}{\omega \mu_0 m_y} \iint_H G_{H_y}(r, r_2) \cdot E_{H_y}(r, r_1) \sigma(r) d^3r \quad (12)$$

که در این رابطه  $G_H$  و  $E_H$  توابع دایadiک گرین (مراجعه کنید به پیوست ۱ و شکل ۳)،  $\sigma(r)$  پارامتر رسانایی الکتریکی حقیقی زمین و  $r_1$  و  $r_2$  و  $r$  به ترتیب بردارهای مکان فرستنده، گیرنده و مدل زیر سطحی می‌باشند.

$$\min \rightarrow \|W_d(Am - d)\|_2^2 + \alpha \|W_m(m - m_i)\|_2^2 \quad (16)$$

$m_i$  مدل اولیه،  $\alpha$  پارامتر منظم سازی و  $W_d$  و  $W_m$  به ترتیب ماتریس وزنی داده ها و پارامترهای مدل هستند. در اینجا فرض بر این است که  $W_d$  یک ماتریس همانی است. حل معادله (16) می تواند منجر به راه حل کمترین مربعات میرا شده وزن دار شود (منکه، ۲۰۱۲):

$$m = m_r + (W_m^{-1}A^T)(AW_m^{-1}A^T + \alpha I)^{-1}(d - Am_r) \quad (17)$$

$W_m$  ماتریس قطری وزن دهی عمقی است که توسط لی و اولدنبورگ (۱۹۹۶) برای معکوس سازی سه بعدی داده های مغناطیسی به صورت معادله (۱۸) معرفی شده است:

$$W_z = \frac{1}{Z^2} \quad (18)$$

$Z$  بردار مختصات مرکز سلول و  $\beta$  توان تابع وزن دهی عمق است.

#### ۴. صحیح سنجی مدل سازی پیش رو

برای اطمینان از دقت عددی الگوریتم پیشنهادی در مدل سازی پیش رو، نتایج انتگرال گیری عددی دو بعدی با نتایج حاصل از راه حل تحلیلی موجود در معادلات (۱) و (۲) بر روی یک نیم فضای همگن با رسانایی ۱ میلی زیمنس بر متر مقایسه می شود. در این مدل سازی از آرایه های HCP و VCP متعلق به سیستم های EM34، EM31 و EM38 (جدول ۱) بهره گرفته شده است. در شکل (۴) پاسخ مدل مشاهده می شود.

همان طور که از شکل ۴ بر می آید، مقایسه بین مدل سازی تحلیلی و دو بعدی مطابقت قابل توجهی را نشان می دهد.

#### ۵. اجرای الگوریتم معکوس سازی

##### ۱-۵. داده های LIN-GeoFEM حاصل از مدل مصنوعی اول

به منظور ارزیابی الگوریتم معکوس سازی پیشنهادی، ابتدا

جزئیات بیشتر می توان به استر و همکاران (۲۰۱۸) مراجعه کرد. انتگرال گیری از معادلات (۱۱) و (۱۲) در امتداد محور  $y$  طبق فرمول زیر انجام می شود (پرز فلورس و همکاران، ۲۰۰۱):

$$\sigma_{a,H}(r_1, r_2) = -\frac{16\pi s}{\omega\mu_0 m_z} \iint \left\{ \int_{-\infty}^{\infty} G_{H_z}(r, r_2) \cdot E_{H_z}(r, r_1) \sigma(r) dy \right\} dx dz \quad (13)$$

$$\sigma_{a,V}(r_1, r_2) = -\frac{16\pi s}{\omega\mu_0 m_y} \iint \left\{ \int_{-\infty}^{\infty} G_{H_y}(r, r_2) \cdot E_{H_y}(r, r_1) \sigma(r) dy \right\} dx dz \quad (14)$$

بنابراین، با پیاده سازی انتگرال عددی در طول محور  $y$  و گسسته سازی معادلات (۱۳) و (۱۴) در امتداد  $x$  و  $z$  معادلات ماتریسی زیر برای هر کدام از آرایه ها ایجاد می شود:

$$\sigma_a = A^* \sigma \quad (15)$$

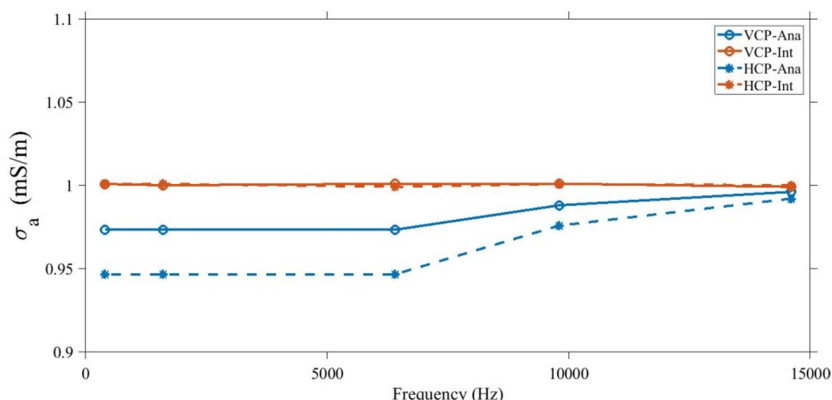
که در این معادلات  $\sigma_a$  بردار رسانایی الکتریکی ظاهری اندازه گیری شده است که برای آرایه HCP با  $\sigma_{a,H}$  و برای آرایه VCP با  $\sigma_{a,V}$  مشخص شده است،  $\sigma$  شامل مجھولات یا پارامترهای مدل و  $A$  ماتریس کرنل یا عملگر پیش رو است.

#### ۲-۳. روش مدل سازی معکوس

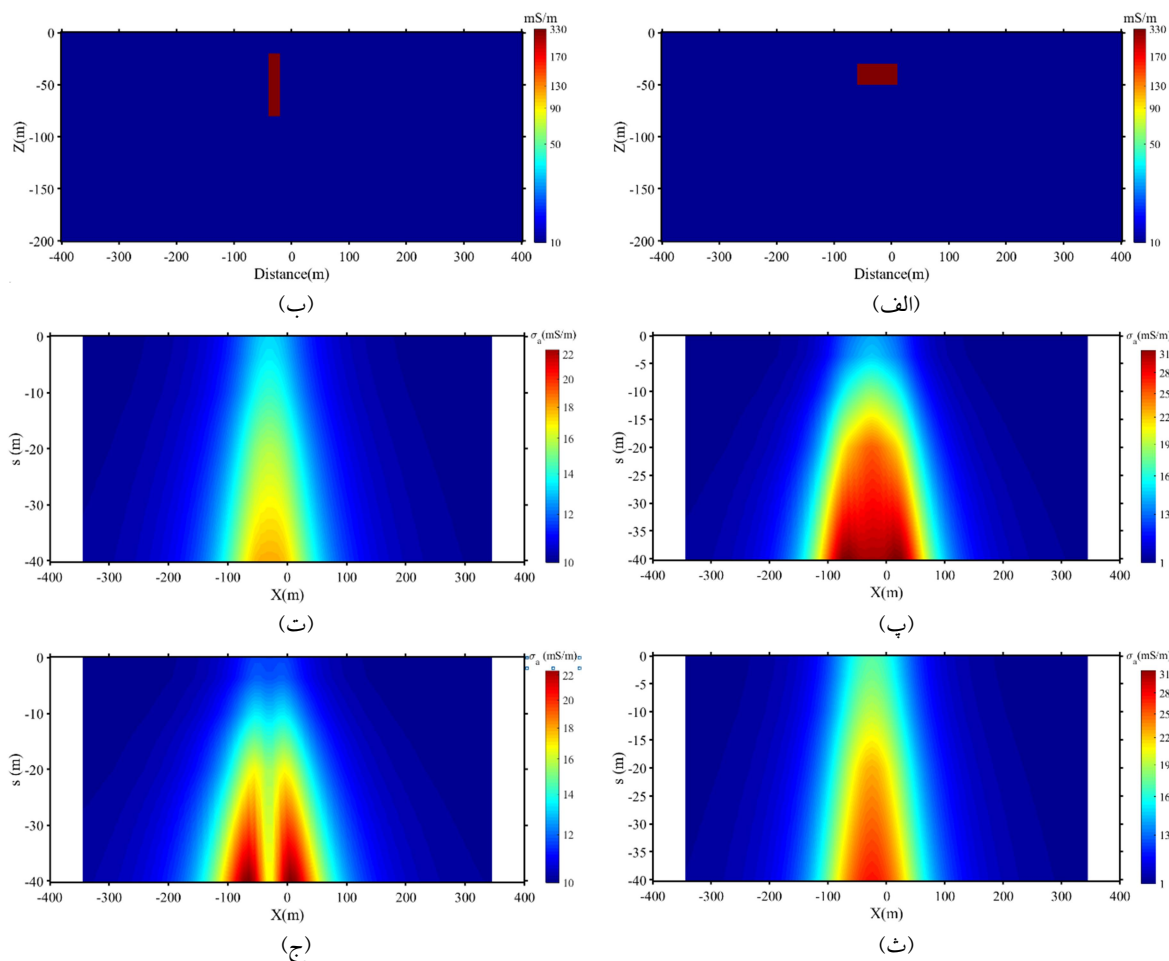
فرایند معکوس سازی از طریق راه حل کمترین مربعات میرا شده وزن دار انجام می شود. مدل اولیه در این معکوس سازی یک مدل نیم فضای همگن برابر با مقدار متوجه رسانایی های الکتریکی ظاهری اندازه گیری شده، می باشد. همانند سایر روش های ژئوفیزیکی، معکوس سازی داده های LIN-GeoFEM دارای عدم یکتا بی و ناپایداری می باشند. بنابراین، به منظور جلوگیری از این مشکلات یا کاهش اثر آنها، قیدهایی معرفی می گرددند. حال پارامترهای مدل، یعنی رسانایی های الکتریکی واقعی زیر سطح زمین، با کمینه کردن تابع هدف موجود در معادله (۱۶) حل می شوند (تیخونوف و آرسنین، ۱۹۷۷):

در این قسمت از آرایه‌های HCP و VCP مربوط سیستم‌های EM31، EM34 و EM38، ذکر شده در جدول ۱، برای شبیه‌سازی برداشت داده با فاصله ایستگاهی ۱۰ متر به کار رفته است. داده‌های مشاهداتی در شکل ۵ نشان داده شده‌اند.

از مدل شامل یک منشور رسانا (۳۳۰ میلی زیمنس بر متر) واقع در عمق ۳۰ متری یک نیم‌فضای مقاوم همگن (۱۰ میلی زیمنس بر متر) استفاده شده است (شکل‌های ۵-الف و ۵-ب). این منشور در دو حالت افقی ( $50 \times 50$ ) و قائم ( $20 \times 20$ ) طراحی شده است.



شکل ۴. نتایج حاصل از مدل سازی پیشرو به وسیله انتگرال‌گیری عددی دوبعدی (Int) و راه حل تحلیلی (Ana) موجود در معادلات (۱) و (۲).

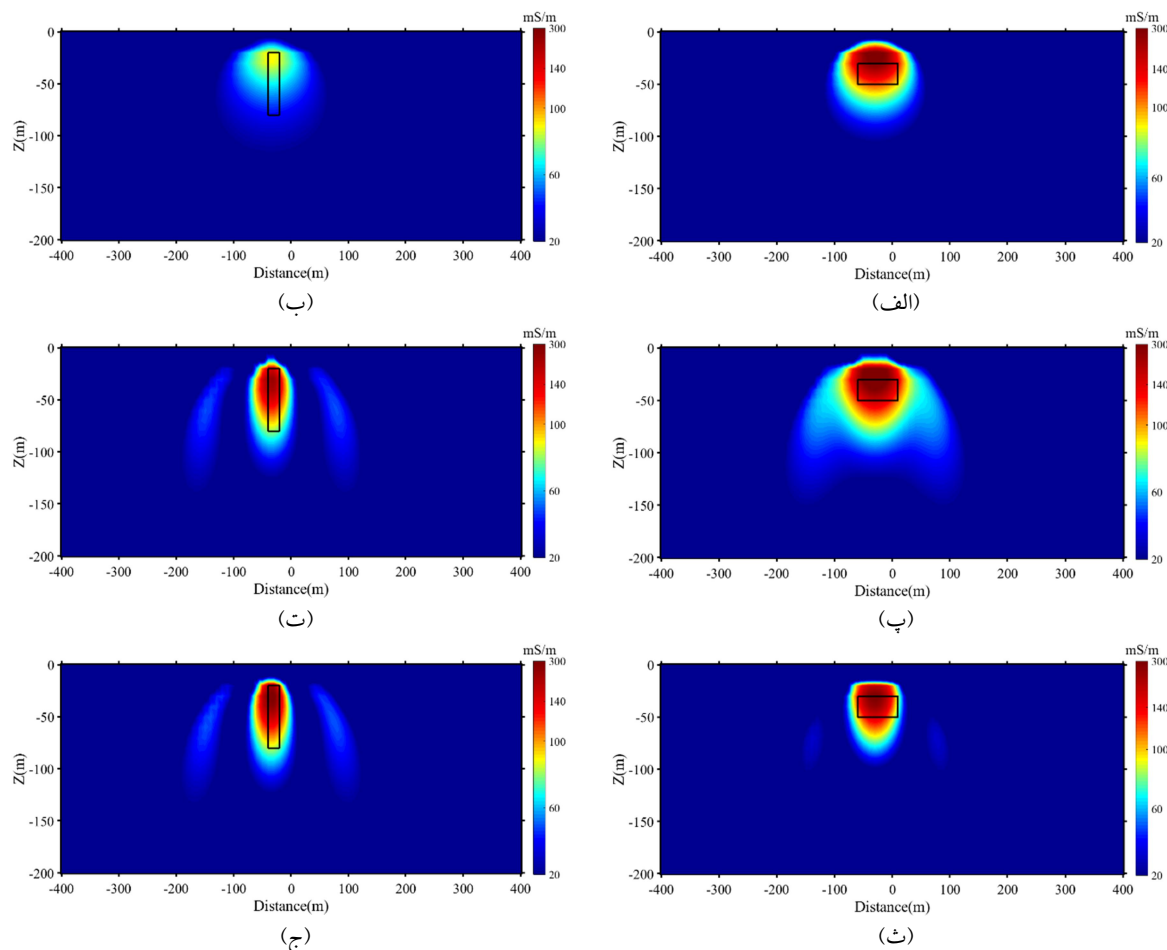


شکل ۵. معکوس‌سازی داده‌های حاصل از مدل مصنوعی اول. (الف) و (ب) مدل اصلی؛ (پ) و (ت) مقادیر رسانایی ظاهری حاصل از اجرای آرایه VCP بر روی مدل موجود در قسمت (الف) و (ب)؛ (پ) و (ج) مقادیر رسانایی ظاهری حاصل از اجرای آرایه HCP به ترتیب بر روی مدل موجود در قسمت (الف) و (ب).

الکتریکی ناشناخته از زیر سطح زمین است، معکوس‌سازی توانمند نتایج منطقی‌تری را در حالت کلی بازیابی کند.

در فرایند معکوس‌سازی این مدل، توان تابع وزن‌دهی برابر ۲ انتخاب شده است و این موضوع با مقدار پیشنهادی در معکوس‌سازی داده‌های مقاومت‌ویژه برای اهداف توده‌ای در تطابق می‌باشد. برگرداندن مدل مطلوب فقط در چهار تکرار حاصل شد که این نیز بیانگر سرعت بالای الگوریتم حاضر است. همچنین این نکته قابل ذکر است که چون معکوس‌سازی خطی است، ماتریس عملگر پیشرو یکبار محاسبه می‌شود و لازم نیست ماتریس معکوس‌سازی غیرخطی در هر تکرار ماتریس ژاکوبین محاسبه شود.

داده‌های مرتبط با آرایه HCP و VCP به صورت منفرد و توأم وارد فرایند معکوس‌سازی شده‌اند و مقاطع مربوط به آنها را در شکل (۶) می‌توان مشاهده کرد. همان‌طور که ملاحظه می‌شود، مکان افقی بی‌亨جاري و گستره عمقی منشور در هر دو حالت از طریق هر سه معکوس‌سازی بازیابی شده است و رسانندگی تخمین زده شده تا حد بسیار خوبی به رسانندگی مدل اصلی نزدیک است؛ اما در این مدل‌سازی مصنوعی به نظر می‌رسد معکوس‌سازی داده‌های HCP و VCP به ترتیب منشور قائم و افقی را بهتر برگردان می‌کنند. این موضوع به وضوح نشانگر کارآمدی این الگوریتم و نیز تابع وزن‌دهی عمقی مورد استفاده می‌باشد. البته از آنجایی که هدف کشف ساختار رسانایی

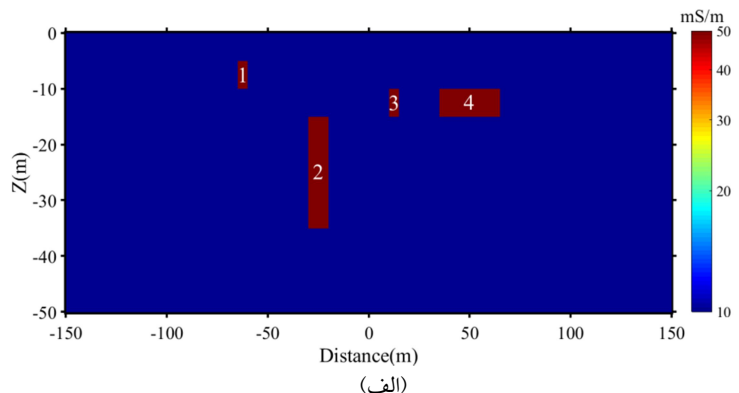


شکل ۶: معکوس‌سازی داده‌های حاصل از مدل مصنوعی اول. (الف) و (ب) مقاطع رسانایی الکتریکی بازیابی شده حاصل از اجرای آرایه VCP به ترتیب بر روی مدل موجود در شکل (۵-الف و ب)؛ (پ) و (ت) مقاطع رسانایی الکتریکی بازیابی شده حاصل از معکوس‌سازی داده‌های مربوط به اجرای آرایه HCP به ترتیب بر روی مدل موجود در شکل (۵-الف و ب)؛ (ث) و (ج) مقاطع رسانایی الکتریکی بازیابی شده حاصل از معکوس‌سازی توانمند داده‌های مربوط به اجرای آرایه VCP و HCP به ترتیب بر روی مدل موجود در شکل (۵-الف و ب).

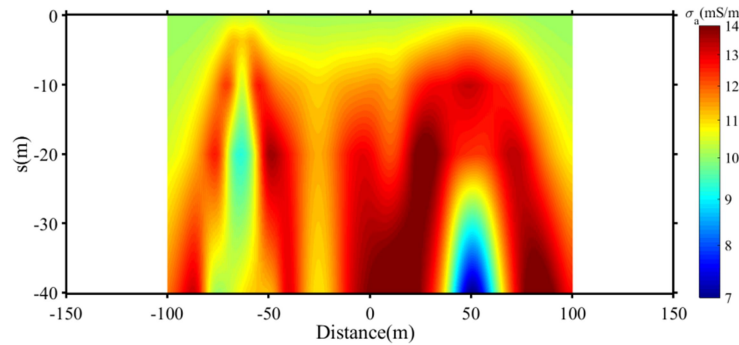
روش‌های مختلف ژئوفیزیکی چون روش مقاومت ویژه، گرانی‌سنگی و مغناطیس‌سنگی نیز به کار گرفته شده است. شبهمقطع حاصل از پاسخ این مدل برای هر دو آرایه HCP و VCP بر اساس عملکرد EM34، EM31 و EM38 (جدول ۱)، در شکل‌های (۷-ب) و (۷-پ) به تصویر کشیده شده است. همان‌طور که مشاهده می‌شود، شبهمقطع حاصل از آرایه HCP شامل داده‌های رسانندگی ظاهری کوچک‌تر از مقدار زمینه رسانندگی است.

## ۲-۵. داده‌های LIN-GeoFEM حاصل از مدل مصنوعی دوم

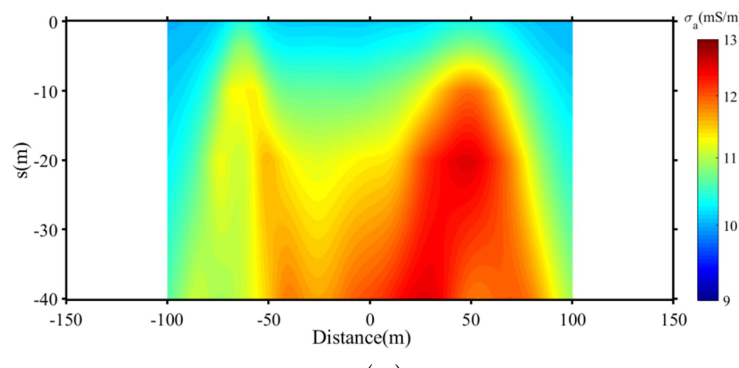
در این بخش، الگوریتم معکوس‌سازی با مدلی شامل چهار منشور رسانا در یک نیم‌فضای همگن (پرز-فلورس و همکاران، ۲۰۱۲) مجدداً مورد ارزیابی قرار می‌گیرد (شکل ۷-الف). این مدل به‌دلیل این‌که شامل چند بی‌亨جارتی متفاوت است و به اندازه کافی پیچیدگی دارد، در بررسی کارایی الگوریتم‌های معکوس‌سازی مناسب می‌باشد و برای



(الف)



(ب)



(پ)

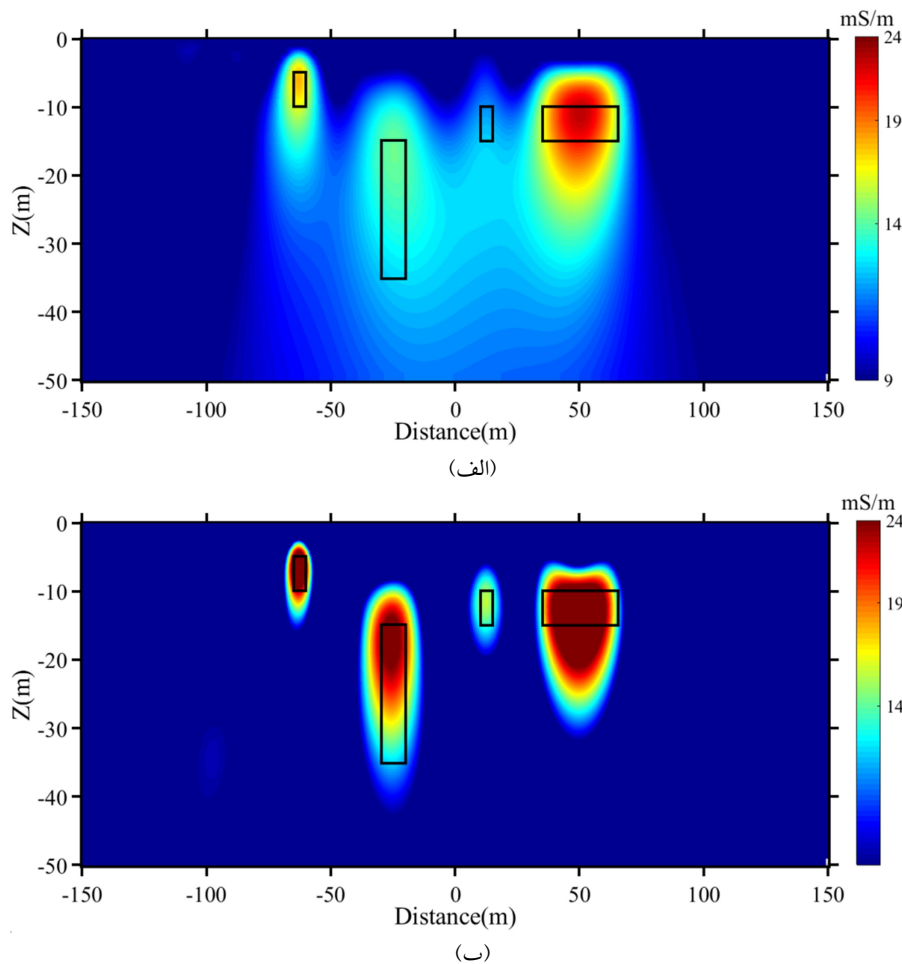
شکل ۷. شبیه‌سازی داده‌های حاصل از اجرای سیستم‌های LIN-GeoFEM بر روی مدل مصنوعی دوم. (الف) مدل اصلی، (ب) شبهمقطع رسانایی الکتریکی حاصل از اجرای آرایه HCP بر روی مدل موجود در قسمت (الف)، (پ) شبهمقطع رسانایی الکتریکی حاصل از اجرای آرایه VCP بر روی مدل موجود در قسمت (الف).

به خوبی بازسازی شده‌اند و نسبت به نتایج پیشین ارائه شده برای این مدل (پرز-فلورس و همکاران، ۲۰۰۱). بهوضوح بهتر است.

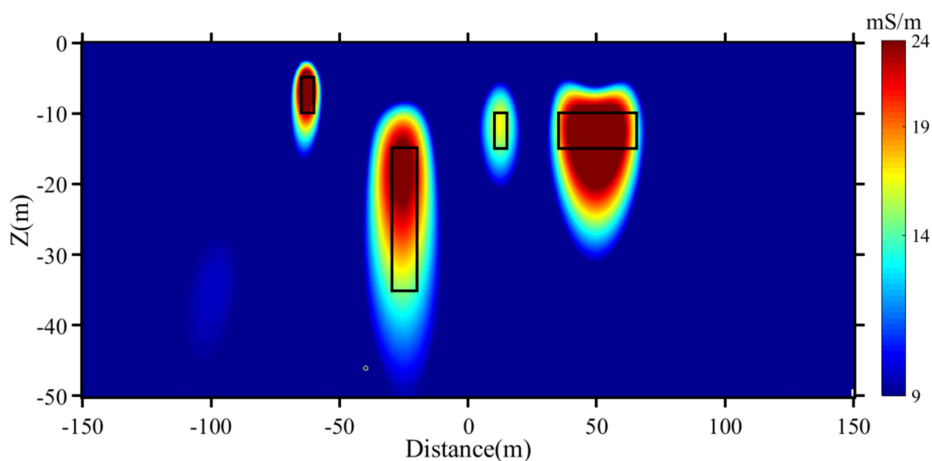
همان‌طور که انتظار می‌رود هنگامی که داده‌های مرتبط با هر دو آرایه به صورت توأمان وارد فرایند معکوس‌سازی شده‌اند، بازیابی بی‌هنجری‌ها بهتر صورت گرفته است. در واقع این مقطع بازیابی شده به وضوح بیان‌کننده عملکرد بسیار خوب الگوریتم معکوس‌سازی پیشنهادی است.

مقادیر پارامتر منظم‌سازی برای هر سه حالت برابر  $2 \times 10^4$  در نظر گرفته شده است و با توجه به توده‌ای بودن اهداف زیر سطحی توان تابع وزن‌دهی برای آنها برابر ۲ در نظر گرفته شد. فرایند معکوس‌سازی در هر سه حالت با ۴ تکرار انجام شده است.

نتایج معکوس‌سازی با استفاده از الگوریتم پیشنهادی بر روی داده‌های مرتبط با آرایه HCP و VCP به صورت منفرد و توأمان در شکل‌های (۸-الف) و (۸-ب) و (۹) قابل مشاهده است. در مقطع بازسازی شده از داده‌های آرایه VCP، منشور ۱ و ۴ از نظر گستره افقی و عمقی تقریباً خوب بازیابی شده‌اند اما منشور سوم تقریباً بازیابی نشده است و بی‌هنجری دوم از تفکیک پذیری کمی برخوردار است هر چند که مکان افق و دامنه عمقی آن تا حد نسبتاً قابل قبولی به مدل اصلی شباهت دارد. مقابله نتیجه فوق با مقطع بازیابی شده توسط پرز-فلورس و همکاران (۲۰۰۱)، برتری الگوریتم معکوس‌سازی ارائه شده در این مقاله را تأیید می‌کند. در مقطع معکوس‌سازی حاصل از داده‌های آرایه HCP، هر چهار بی‌هنجری



شکل ۸ معکوس‌سازی داده‌های حاصل از مدل مصنوعی دوم موجود در شکل (۷-الف): (الف) مقطع رسانایی الکتریکی بازیابی شده حاصل از معکوس‌سازی داده‌های مربوط به اجرای آرایه VCP بر روی مدل موجود در شکل (۷-الف)، (ب) مقطع رسانایی الکتریکی بازیابی شده حاصل از معکوس‌سازی داده‌های مربوط به اجرای آرایه HCP بر روی مدل موجود در شکل (۷-الف).

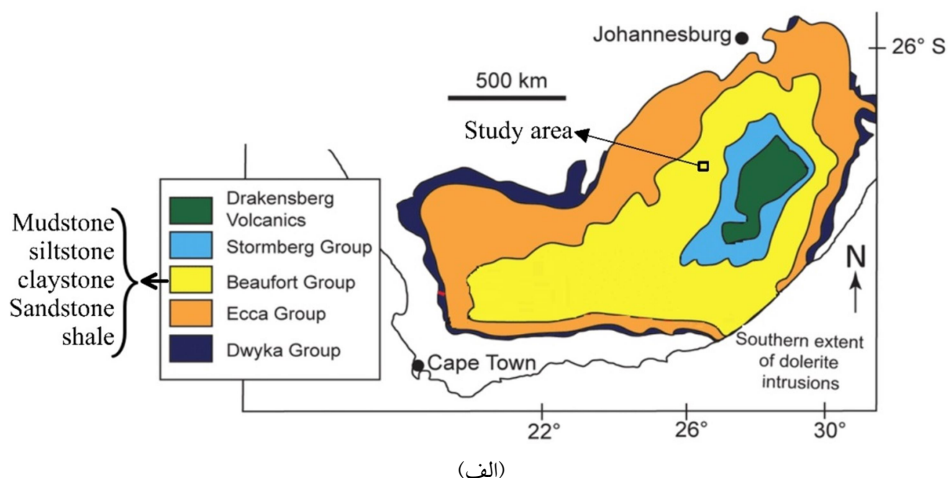


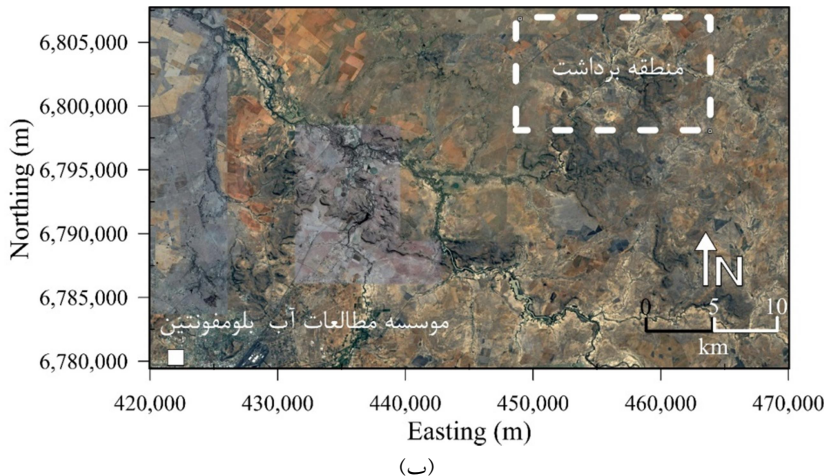
شکل ۹. مقطع رسانایی الکتریکی بازیابی شده حاصل از معکوسسازی توانان داده‌های مربوط به اجرای آرایه‌ی VCP و HCP بر روی مدل موجود در شکل (الف).

$s=40\text{ m}$  نسبت به مرکز دایک جابه‌جا شده است. بنابراین احتمالاً شیب دایک به سمت راست می‌باشد. پاسخ‌های آرایه HCP متغیر هستند اما روندی مشابه پاسخ‌های آرایه VCP دارند. حال داده‌ها وارد فرایند مدل معکوسسازی می‌شوند. مدل بازیابی شده در شکل (۱۲) نشان داده شده است. این مدل بیانگر یک دایک ضخیم با رسانایی پایین است که از سطح شروع شده است و به طور افقی از ۱۲۰ تا ۱۸۰ متری امتداد دارد. علاوه‌بر این، رسانندگی بخش سمت چپ مدل بیشتر است و این موضوع به صورت کیفی نیز از نمودار داده‌ها مشخص می‌باشد.

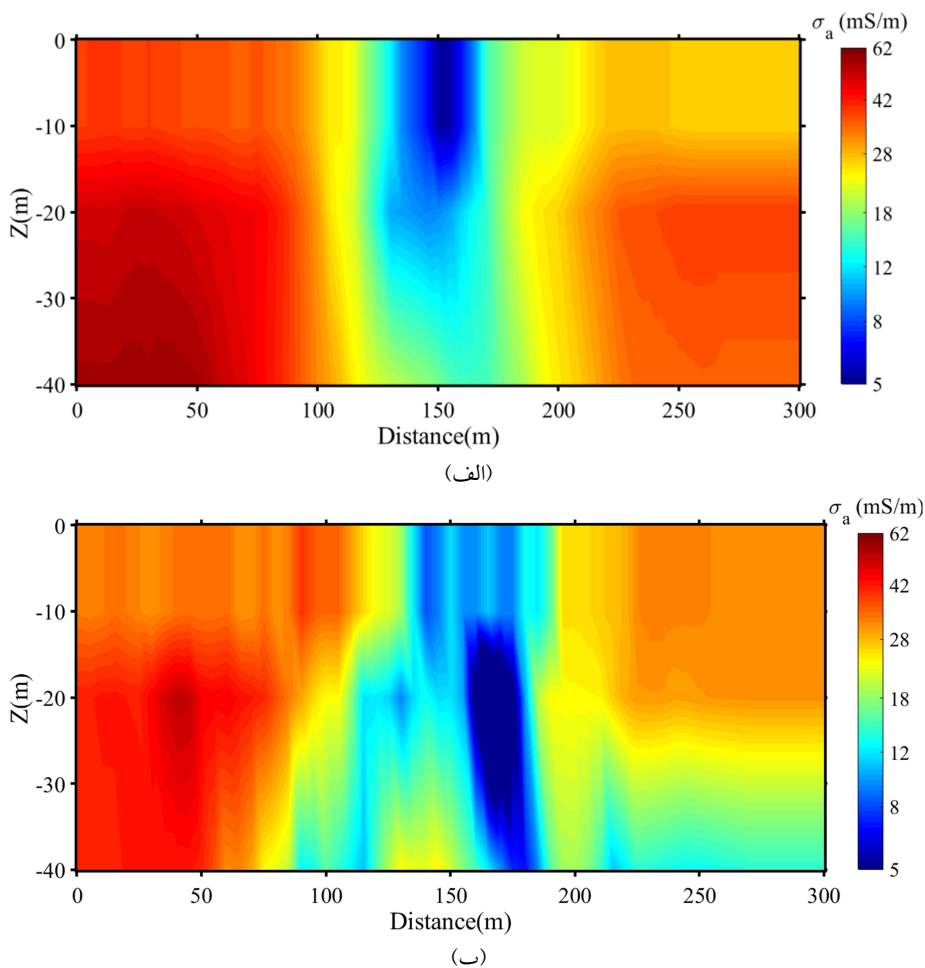
### ۳-۵. داده‌های LIN-GeoFEM واقعی

داده‌های LIN-GeoFEM در این قسمت مربوط به دستگاه EM-34 است که بر روی یک دایک ضخیم، دارای رخنمون، در ناحیه بلومفونتین در آفریقای جنوبی با فاصله نقاط ۵ متر برداشت شده‌اند. موقعیت منطقه برداشت و نقشه زمین‌شناسی در شکل ۱۰ نمایش داده شده‌اند. عمدۀ سنگ‌های منطقه از جنس ماسه سنگ و سیلتستون می‌باشند (شکل ۱۰) (ماخوخا و فوریه، ۲۰۱۶). شبۀ مقاطع مقادیر رسانایی ظاهری در شکل ۱۱ ترسیم شده‌اند. حداقل مقادیر رسانایی الکتریکی ظاهری در آرایه VCP در نزدیکی موقعیت دایک رخ می‌دهد، اگرچه برای





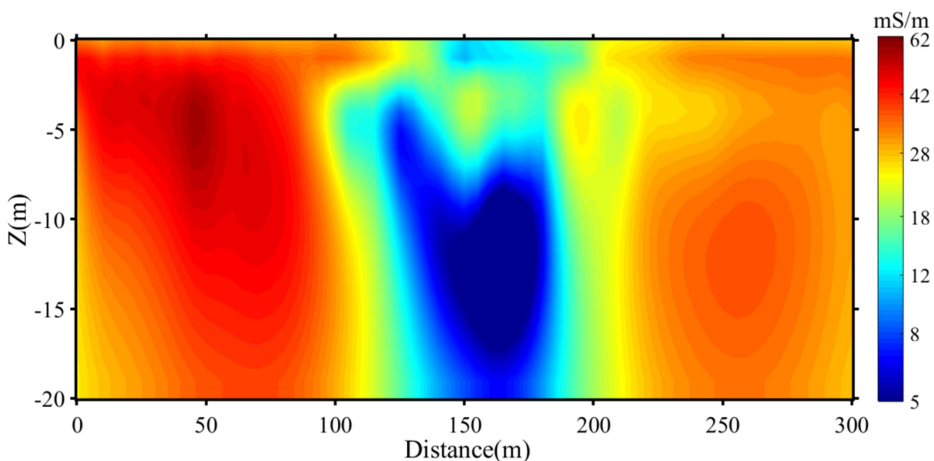
شکل ۱۰. (الف) نقشه زمین‌شناسی منطقه برداشت (دی کاک و همکاران، ۲۰۱۶)، (ب) موقعیت منطقه برداشت داده‌های واقعی بر روی تصویر ماهواره‌ای.



شکل ۱۱. داده‌های EM-34 مربوط به دستگاه LIN-GeoFEM بر روی یک دایک ضخیم که در ناحیه بلومفوتنین در آفریقای جنوبی برداشت شده‌اند. (الف) شبیه‌قطعه رسانایی الکتریکی حاصل از اجرای آرایه VCP، (ب) شبیه‌قطعه رسانایی الکتریکی حاصل از اجرای آرایه HCP

مقدار پیشنهادی توسط سلا و فدی (۲۰۱۲) برای دایک در معکوس‌سازی داده‌های مغناطیس‌سنجی سازگار است.

برای فرایند معکوس‌سازی، مقدار پارامتر منظم‌سازی، توان تابع وزن‌دهی عمیقی و تعداد تکرارها به ترتیب ۲، ۲ و ۶ می‌باشد. مقدار توان تابع وزن‌دهی عمیقی با



شکل ۱۲. مقطع رسانایی الکتریکی بازیابی شده حاصل از معکوس‌سازی توانان داده‌های مربوط به آرایه VCP و HCP در ناحیه بلومغونتین در آفریقای جنوبی.

و HCP فقط در چهار تکرار به ترتیب منشور افقی و قائم را بهتر بازسازی می‌کنند، اگرچه معکوس‌سازی توانان داده‌های VCP و HCP می‌تواند نتایج منطقی‌تری را در حالت کلی بازیابی کند. مدل مصنوعی دوم به اندازه کافی پیچیده است و شامل چهار منشور رسانا در یک نیم‌فضای همگن می‌باشد که در مقطع بازسازی شده از حاصل از معکوس‌سازی منفرد داده‌های آرایه VCP و منفرد داده‌های HCP به ترتیب ضعیفترین، خصوصا در مورد منشورهای قائم، و قوی‌ترین نتایج را داشته‌اند. با این حال، معکوس‌سازی توانان داده‌های VCP و HCP نتایج مطلوب‌تری را حاصل می‌کند. در فرایندهای معکوس‌سازی مذکور، توان تابع وزن‌دهی برابر ۲ انتخاب شده است که با مقدار پیشنهادی در معکوس‌سازی داده‌های مقاومت‌ویژه برای اهداف توده‌ای مطابقت دارد. داده‌های واقعی مربوط به دستگاه EM-34 است که بر روی یک دایک ضخیم در ناحیه بلومغونتین در آفریقای جنوبی برداشت شده‌اند. فرایند معکوس‌سازی یک دایک ضخیم با مقادیر رسانایی الکتریکی پایین را نسبت به اطراف بازیابی می‌کند از سطح زمین شروع می‌شود و گستره جانبی آن ۱۲۰ تا ۱۸۰ متر می‌باشد. توان تابع وزن‌دهی عمیقی ۲ می‌باشد که با مقدار پیشنهادی توسط سلا و فدی (۲۰۱۲) برای دایک در معکوس‌سازی داده‌های مغناطیس‌سنگی سازگار است.

#### ۶. نتیجه گیری

در این مطالعه طرح معکوس‌سازی خطی دو بعدی داده‌های الکترومغناطیس زمینی حوزه فرکانس با چشم مصنوعی در محدوده عدد القاء کوچک توسعه داده شده است. با استفاده از این الگوریتم، ساختار دو بعدی قابل اطمینان برای بررسی رسانایی الکتریکی لایه‌های نزدیک سطح زمین در انواع محیط‌ها با شرایط زمین‌شناسی متفاوت بازیابی می‌شود. الگوریتم معکوس‌سازی حاضر بر اساس یک مدل‌سازی پیشرو خطی بنا نهاده شده است. معادله انتگرالی خطی در دو بعد برای مسئله پیشرو روش LIN-GeoFEM به کار گرفته شده و با استفاده از راه حل عددی حل شده است. سپس، برای حل مسئله معکوس از راه حل کمترین مربعات وزن داده شده منظم‌سازی شده به همراه قید وزن‌دهی عمیقی به منظور غلبه بر عدم یکتاپی و ناپایداری جواب و همگرایی به سمت واقعیت، استفاده شده است. از مزیت‌های این الگوریتم خطی، محاسبه کرنل در تکرار اول و استفاده از آن در کل تکرار می‌باشد که باعث بهبود سرعت محاسبات می‌شود. الگوریتم حاضر در دو حالت منفرد و توانان آرایه‌های هم‌صفحه افقی و هم‌صفحه قائم کارایی دارد. مدل مصنوعی اول مدلی شامل یک منشور رسانا در دو حالت افقی و قائم واقع در یک نیم‌فضای مقاوم همگن می‌باشد. در این مدل‌سازی مصنوعی به نظر می‌رسد که معکوس‌سازی داده‌های VCP

## مراجع

- Aster, R. C., Borchers, B. and Thurber, C. H., 2018, Parameter estimation and inverse problems, Elsevier.
- Brosten, T. R., Day-Lewis, F. D., Schultz, G. M., Curtis, G. P. and Lane Jr, J. W., 2011, Inversion of multi-frequency electromagnetic induction data for 3D characterization of hydraulic conductivity., *J. Appl. Geophys.*, 73, 323-335.
- Beamish, D., 2011, Low induction number, ground conductivity meters: A correction procedure in the absence of magnetic effects, *J. Appl. Geophys.*, 75, 244-253.
- Callegary, J. B., Ferré, T. P. and Groom, R. W., 2007, Vertical spatial sensitivity and exploration depth of low-induction-number electromagnetic-induction instruments, *Vadose Zone J.*, 6, 158-167.
- Cavalcante Fraga, L. H., Schamper, C., Noel, C., Guerin, R. and Rejiba, F., 2019, Geometrical characterization of urban fill by integrating the multi-receiver electromagnetic induction method and electrical resistivity tomography: A case study in Poitiers, France, *Eur. J. Soil Sci.*, 70, 1012-1024.
- Cella, F. and Fedi, M., 2012, Inversion of potential field data using the structural index as weighting function rate decay, *Geophys. Prospect.*, 60, 313-336.
- Dentith, M. and Mudge, S. T., 2014, Geophysics for the mineral exploration geoscientist, Cambridge University Press.
- Deidda, G. P., Himi, M., Barone, I., Cassiani, G. and Casas Ponsati, A., 2022, Frequency-Domain Electromagnetic Mapping of an Abandoned Waste Disposal Site: A Case in Sardinia (Italy), *Remote Sensing*, 14, 878.
- De Kock, M. O., Beukes, N. J., Götz, A. E., Cole, D., Robey, K., Birch, A., Withers, A. and Van Niekerk, H.S., 2016, Open file progress report on exploration of the Southern Karoo Basin through CIMERAKARIN borehole KZF-1 in the Tankwa Karoo, Witzenberg (Ceres) district. DST-NRF Centre of Excellence for Integrated Mineral and Energy Resources Analysis (CIMERA), University of Johannesburg, South Africa.
- Elwaseif, M., Robinson, J., Day-Lewis, F. D., Ntarlagiannis, D., Slater, L. D., Lane, J. W., Minsley, B. J. and Schultz, G., 2017, A matlab-based frequency-domain electromagnetic inversion code (FEMIC) with graphical user interface, *Comput. and Geosci.*, 99, 61-71.
- Gómez-Treviño, E., Esparza, F. J. and Méndez-Delgado, S., 2002, New theoretical and practical aspects of electromagnetic soundings at low induction numbers, *Geophysics*, 67, 1441-1451.
- Gómez-Treviño, E., 1987, Nonlinear integral equations for electromagnetic inverse problems, *Geophysics*, 52, 1297-1302.
- Gómez-Puentes, F. J., Pérez-Flores, M. A., Reyes-López, J. A., Lopez, D. L., Herrera-Barrientos, F., García-Cueto, R. O., Romero-Hernández, S., Solís-Domínguez, F. A. and Martín-Loeches Garrido, M., 2016, Geochemical modeling and low-frequency geoelectrical methods to evaluate the impact of an open dump in arid and deltaic environments, *Environ. Earth Sci.*, 75, 1-14.
- Li, Y. and Oldenburg, D. W., 1996, 3-D inversion of magnetic data, *Geophysics*, 61, 394-408.
- Makhokha, D. and Fourie, F., 2016, A systematic approach to the interpretation of conductivity anomalies across intrusive dolerite dykes and sills in the Karoo Supergroup, MSc thesis, University of the Free State, Bloemfontein.
- Matias, M. S., Da Silva, M. M., Ferreira, P. and Ramalho, E., 1994, A geophysical and hydrogeological study of aquifers contamination by a landfill, *J. Appl. Geophys.*, 32, 155-162.
- McNeill, J. D., 1980, Electromagnetic Terrain Conductivity Measurement at Low Induction Numbers, Geonics Ltd., Technical Note TN-6.
- M'endez-Delgado, S., G'omez-Treviño, E. and Pérez-Flores, M. A., 1999, Forward modelling of direct current and low-frequency electromagnetic fields using integral equations, *Geophys. J. Int.*, 137, 336-352.
- Menke, W., 2012, Geophysical data analysis: discrete inverse theory. MATLAB edition, Academic press.
- Minsley, B. J., 2011, A trans-dimensional Bayesian Markov chain Monte Carlo algorithm for model assessment using frequency-domain electromagnetic data, *Geophys. J. Int.*, 187, 252-272.
- Santos, F. A. M., 2004, 1-D laterally constrained inversion of EM34 profiling data, *J. Appl. Geophys.*, 56, 123-134.
- Monteiro Santos, F.A., Triantafyllis, J., Taylor, R.S., Holladay, S. and Bruzgulis, K.E., 2010, Inversion of conductivity profiles from EM using full solution and a 1-D laterally constrained algorithm, *J. Environ. Eng. Geophys.*, 15, 163-174.
- Nyquist, J. E. and Blair, M.S., 1991, A geophysical tracking and data logging system: Description and case history, *Geophysics*, 56, 1114-1121.
- Oh, S., Noh, K., Seol, S.J., Byun, J. and Yi, M.J., 2016, Interpretation of controlled-source

- electromagnetic data from iron ores under rough topography. *J. Appl. Geophys.*, 124, 106-116.
- Orozco, A. F., Ciampi, P., Katona, T., Censini, M., Papini, M.P., Deidda, G.P. and Cassiani, G., 2021, Delineation of hydrocarbon contaminants with multi-frequency complex conductivity imaging, *Sci. Total Environ.*, 768, 144997.
- Pérez-Flores, M. A., Méndez-Delgado, S. and Gómez-Treviño, E., 2001, Imaging low-frequency and dc electromagnetic fields using a simple linear approximation, *Geophysic*, 66, 1067-1081.
- Pérez-Flores, M. A., Antonio-Carpio, R.G., Gómez-Treviño, E., Ferguson, I. and Méndez-Delgado, S., 2012, Imaging of 3D electromagnetic data at low-induction numbers, *Geophysic*, 77, WB47-WB57.
- Perez-Flores, M. A., Ochoa-Tinajero, L. E. and Villela y Mendoza, A., 2019, Three-dimensional inverse modeling of EM-LIN data for the exploration of coastal sinkholes in Quintana Roo, Mexico, *Nat. Hazards Earth Syst. Sci.*, 19, 1779-1787.
- Parnow, S., Oskooi, B. and Florio, G., 2021, Improved linear inversion of low induction number electromagnetic data, *Geophys. J. Int.*, 224, 1505-1522.
- Sasaki, Y., 2001, Full 3-D inversion of electromagnetic data on PC, *J. Appl. Geophys.*, 46, 45-54.
- Sasaki, Y., Kim, J.H. and Cho, S.J., 2010, Multidimensional inversion of loop-loop frequency-domain EM data for resistivity and magnetic susceptibility, *Geophysics*, 75, F213-F223.
- Selepeng, A. T., Sakanaka, S. Y. and Nishitani, T., 2017, 3D numerical modelling of negative apparent conductivity anomalies in loop-loop electromagnetic measurements: a case study at a dacite intrusion in Sugisawa, Akita Prefecture, Japan, *Explor. Geophys.*, 48, 177-191.
- Spies, B. R. and Frischknecht, F.C., 1991, Electromagnetic sounding. *Electromagnetic methods in applied geophysics*, 2(Part A), 285-426.
- Sudduth, K. A., Drummond, S.T. and Kitchen, N.R., 2001, Accuracy issues in electromagnetic induction sensing of soil electrical conductivity for precision agriculture, *Comput. Electron. Agric.*, 31, 239-264.
- Tikhonov, A. N. and Arsenin, V. Y., 1977, *Solutions of ill-posed problems*, New York 1, 487.
- Wait, J.R., 1955, Mutual electromagnetic coupling of loops over a homogenous ground, *Geophysics*, 20, 630-637.
- Ward, S.H. and Hohmann, G.W., 1988, Electromagnetic theory for geophysical applications. *Electromagnetic Methods in Applied Geophysics* Society of Exploration Geophysicists, Tulsa, Oklahoma. 131-311.
- Zhdanov, M. S., 2002, *Geophysical inverse and regularization problems*. 1sted.: Elsevier Science B. V.
- Zhdanov, M.S., 2009, *Geophysical electromagnetic theory and methods*. Elsevier.

---

 پیوست
 

---

میدان های الکتریکی و توابع دیا دیک گرین مغناطیسی در معادله های ۱ تا ۴ ارائه شده است.

$$G_{H_z}(r, r_2) = \frac{1}{4\pi} \left[ -\frac{(y - y_2)}{|r - r_2|^3} i + \frac{(x - x_2)}{|r - r_2|^3} j \right] \quad (1)$$

$$\begin{aligned} G_{H_y}(r, r_2) = & \frac{1}{4\pi} \left\{ \left[ \frac{1}{\rho_2^2} - \frac{z+h}{\rho_2^2 |r-r_2|} - \frac{2(y-y_2)^2}{\rho_2^4} + \frac{2(z+h)(y-y_2)^2}{\rho_2^4 |r-r_2|} \right. \right. \\ & \left. \left. + \frac{(z+h)(y-y_2)^2}{\rho_2^2 |r-r_2|^3} \right] i \right. \\ & \left. + \left[ \frac{(x-x_2)(y-y_2)}{\rho_2^2} \left( \frac{2}{\rho_2^2} - \frac{2(z+h)}{\rho_2^2 |r-r_2|} - \frac{(z+h)}{|r-r_2|^3} \right) \right] j \right\} \end{aligned} \quad (2)$$

$$E_{H_z}(r, r_1) = \frac{\omega \mu_0 m_z}{4\pi} \left[ -\frac{(y - y_1)}{|r - r_1|^3} i + \frac{(x - x_1)}{|r - r_1|^3} j \right] \quad (3)$$

$$\begin{aligned} E_{H_y}(r, r_2) = & \frac{\omega \mu_0 m_y}{4\pi} \left\{ \left[ \frac{1}{\rho_1^2} - \frac{z+h}{\rho_1^2 |r-r_1|} - \frac{2(y-y_1)^2}{\rho_1^4} + \frac{2(z+h)(y-y_1)^2}{\rho_1^4 |r-r_1|} \right. \right. \\ & \left. \left. + \frac{(z+h)(y-y_1)^2}{\rho_1^2 |r-r_1|^3} \right] i \right. \\ & \left. + \left[ \frac{(x-x_1)(y-y_1)}{\rho_1^2} \left( \frac{2}{\rho_1^2} - \frac{2(z+h)}{\rho_1^2 |r-r_1|} - \frac{(z+h)}{|r-r_1|^3} \right) \right] j \right\} \end{aligned} \quad (4)$$

## 2D Linear inversion of ground-based controlled-source electromagnetic data under a low induction number condition

Ghari, H.<sup>1\*</sup> and Varfinezhad, R.<sup>2</sup>

1. Assistant Professor, Faculty of Mining and Metallurgical Engineering, Yazd University, Yazd, Iran

2. Ph.D. Graduated, Department of Earth Physics, Institute of Geophysics, University of Tehran, Tehran, Iran

(Received: 19 Dec 2021, Accepted: 4 Oct 2022)

### Summary

Low-induction-number frequency-domain geoelectromagnetic (LIN-GeoFEM) instruments are ground conductivity meters that use a small coil transmitter (Tx) and one coil receiver (Rx). This coil-coil system is designed to propagate alternating electromagnetic fields through the earth at small Tx-Rx separations and low frequency and receive the EM field coupling in the shallow subsurface to provide direct measures of the apparent electrical conductivity. This measured property is a complicated average of spatially distributed localized electrical conductivities in the subsurface. Instruments capable of operating as LIN FEM instruments include the EM38, EM31, and EM34 (Geonics Ltd., Mississauga, ON), the DUALEM instruments series (DUALEM, Inc., Milton, ON), the GEM instrument series (Geophex Ltd., Raleigh, NC) and CMD series (GF Instruments, s.r.o.). The Tx and Rx coils can be oriented relative to each other and the earth's surface. Orientations considered in this study are horizontal coplanar (HCP) (both coils lie flat on the ground) and vertical coplanar (VCP) (coils are upright and coplanar). The range of LIN FEM instruments applications for environmental and hydrologic characterization and monitoring is large and increasing.

The LIN-GeoFEM applications are industrially feasible as long as there is a reasonably fast algorithm that is accurate enough to invert the survey data. Furthermore, forward modeling plays a key role in the inversion procedure. The linear integral equation (IE) method is a powerful tool in EM forward modeling for geophysical applications, especially for simple background conductivity structures. The main advantage of the IE method in comparison with the finite difference (FD) and finite element (FE) methods is its fast and accurate simulation of the response for models with compact 2-D or 3-D bodies in a layered background. The main limitation of the IE method is that the background conductivity model must have a simple structure to allow for an efficient Green's function calculation. Fortunately, the most widely used background models in LIN-GeoFEM explorations are those formed by horizontally homogeneous layers. A main issue is that the EM field integral equation is nonlinear. However, an approximate linear equation is obtained for the electromagnetic induction at low induction numbers using the Born approximation. A 2D forward modeling code for LIN-GeoFEM is developed based on the integral equation (IE) method. Here, a linear relation between model parameters and apparent conductivity values is proposed. The 2D problem is obtained from 3D using numerical integration along the y-axis (strike direction) from minus infinity to infinity. So, the linear approximation is applied to the 2D inversion of LIN measurements. We use a damped minimum length solution using depth weighting to solve this problem iteratively. Thus, we obtain a better estimate of conductivity in a few iterations. Using this 2D linear inversion or imaging technique, we can produce reasonably good results of inverting jointly and individually VCP and HCP for low and moderate conductivity contrasts.

To validate the algorithm, we consider two 2D synthetic scenarios and field data acquired on a thick conductive dyke in the Bloemfontein Nature Reserve region in South Africa. The first synthetic scenario consists of one  $3 \Omega \cdot m$  conductive horizontal or vertical prism immersed in a  $100 \Omega \cdot m$  resistive host. In this example, the recovered models from the inversion of the HCP (VMD) and VCP (HMD) data show good results for the vertical and horizontal prism, respectively. The second scenario simulates four  $20 \Omega \cdot m$  conductive vertical and horizontal prisms in a  $100 \Omega \cdot m$  resistive background. The recovered conductivity from the inversion of the VCP data has the weakest results, especially in the case of vertical prisms. In the conductivity section from the inversion of HCP data, the existence of the four anomalous bodies is evident. However, the image obtained from the joint inversion of HCP and VCP data has generated useful information about the true model in all recovered models. The result of jointly inverting VCP and HCP field data confirms the presence of the dyke as a zone of low conductivities.

**Keywords:** Low-induction-number frequency-domain geoelectromagnetic, forward modeling, linear integral equations, joint inversion, depth weighting.

---

\* Corresponding author:

hghari@yazd.ac.ir